Eingabe: Farbmetrisches Fernseh-Licht-System TLS70

für Buntton *h* = lab*h = 22/360 = 0.061*
*lab*tch* und *lab*nch*

D65: Buntton O
LCH*Ma: 76 28 22
olv*Ma: 1.0 0.0 0.0

Dreiecks-Helligkeit *t**

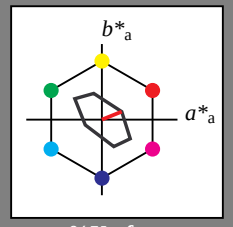

%Umfang

u*rel = 16

TLS70; adaptierte CIELAB-Daten

	L*=L*a	a*a	b*a	C*ab,a	h*ab,a
O_{Ma}	76.43	26.27	10.57	28.32	22
Y_{Ma}	93.93	−10.76	34.63	36.27	107
L_{Ma}	89.32	−35.8	27.64	45.24	142
C_{Ma}	90.93	−21.95	−7.07	23.07	198
V_{Ma}	72.1	15.76	−35.63	38.97	294
M_{Ma}	78.5	37.52	−25.23	45.22	326
N_{Ma}	69.7	0.0	0.0	0.0	0
W_{Ma}	95.41	0.0	0.0	0.0	0
R_{CIE}	39.92	58.74	27.99	65.07	25
J_{CIE}	81.26	−2.88	71.56	71.62	92
G_{CIE}	52.23	−42.41	13.6	44.55	162
B_{CIE}	30.57	1.41	−46.46	46.49	272

%Regularität

g*H,rel = 34

g*C,rel = 51

Ausgabe: Farbmetrisches Fernseh-Licht-System TLS00

für Buntton *h* = lab*h = 40/360 = 0.111*
*lab*tch* und *lab*nch*

D65: Buntton O
LCH*Ma: 51 100 40
olv*Ma: 1.0 0.0 0.0

Dreiecks-Helligkeit *t**

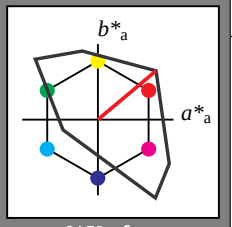

%Umfang

u*rel = 158

TLS00; adaptierte CIELAB-Daten

	L*=L*a	a*a	b*a	C*ab,a	h*ab,a
O_{Ma}	50.5	76.92	64.55	100.42	40
Y_{Ma}	92.66	−20.69	90.75	93.08	103
L_{Ma}	83.63	−82.75	79.9	115.04	136
C_{Ma}	86.88	−46.16	−13.55	48.12	196
V_{Ma}	30.39	76.06	−103.59	128.52	306
M_{Ma}	57.3	94.35	−58.41	110.97	328
N_{Ma}	0.01	0.0	0.0	0.0	0
W_{Ma}	95.41	0.0	0.0	0.0	0
R_{CIE}	39.92	58.74	27.99	65.07	25
J_{CIE}	81.26	−2.88	71.56	71.62	92
G_{CIE}	52.23	−42.41	13.6	44.55	162
B_{CIE}	30.57	1.41	−46.46	46.49	272

%Regularität

g*H,rel = 20

g*C,rel = 37

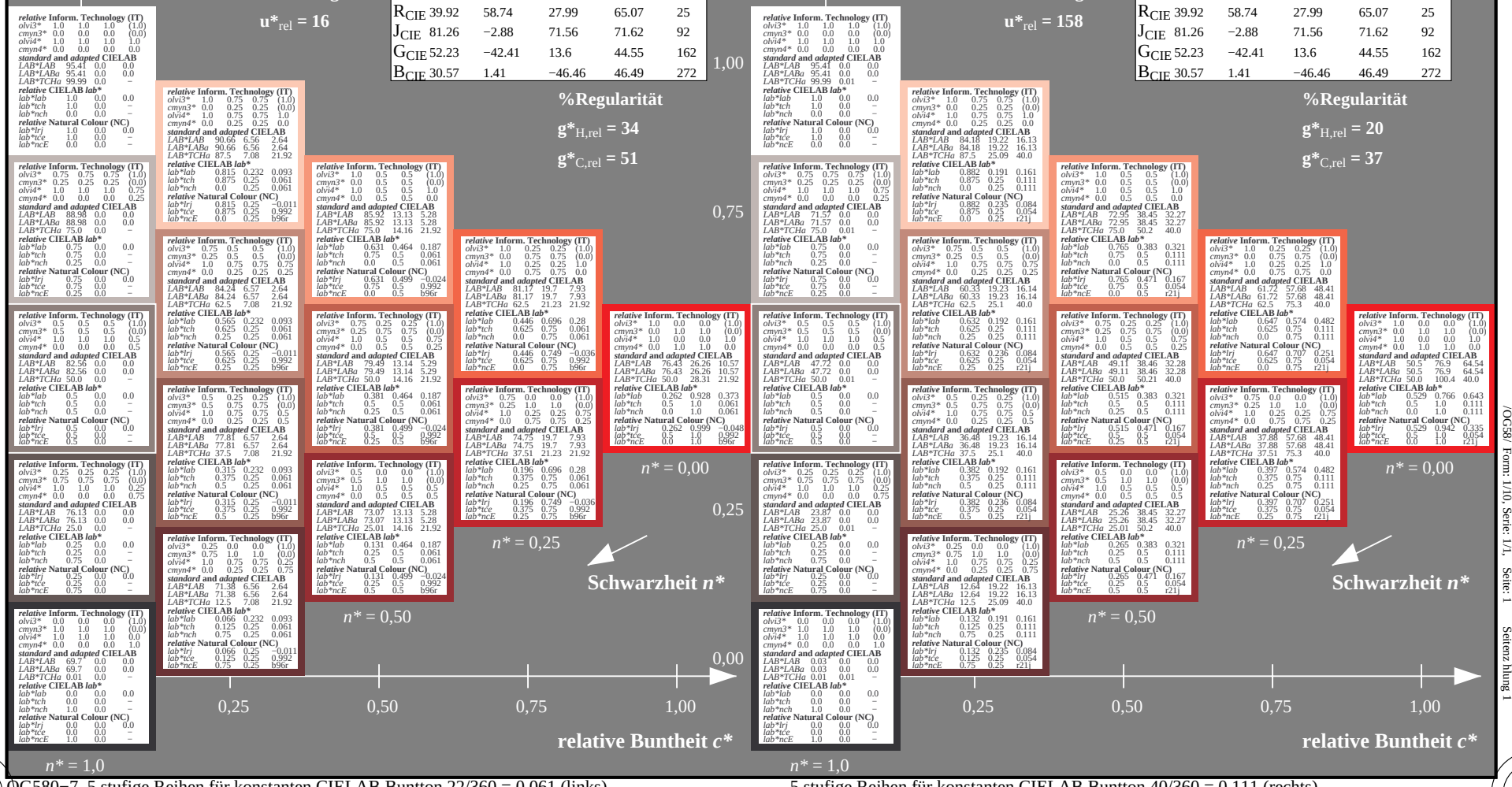

OG580−7, 5 stufige Reihen für konstanten CIELAB Buntton 22/360 = 0.061 (links)

5 stufige Reihen für konstanten CIELAB Buntton 40/360 = 0.111 (rechts)

Eingabe: Farbmetrisches Fernseh-Licht-System TLS70

für Buntton *h* = lab*h = 107/360 = 0.298*
*lab*tch* und *lab*nch*

D65: Buntton Y
LCH*Ma: 94 36 107
olv*Ma: 1.0 1.0 0.0

Dreiecks-Helligkeit *t**

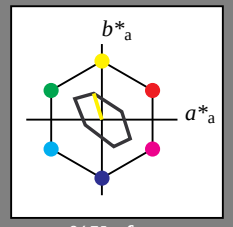

%Umfang

u*rel = 16

TLS70; adaptierte CIELAB-Daten

	L*=L*a	a*a	b*a	C*ab,a	h*ab,a
O_{Ma}	76.43	26.27	10.57	28.32	22
Y_{Ma}	93.93	−10.76	34.63	36.27	107
L_{Ma}	89.32	−35.8	27.64	45.24	142
C_{Ma}	90.93	−21.95	−7.07	23.07	198
V_{Ma}	72.1	15.76	−35.63	38.97	294
M_{Ma}	78.5	37.52	−25.23	45.22	326
N_{Ma}	69.7	0.0	0.0	0.0	0
W_{Ma}	95.41	0.0	0.0	0.0	0
R_{CIE}	39.92	58.74	27.99	65.07	25
J_{CIE}	81.26	−2.88	71.56	71.62	92
G_{CIE}	52.23	−42.41	13.6	44.55	162
B_{CIE}	30.57	1.41	−46.46	46.49	272

1,00

%Regularität

g*H,rel = 34

g*C,rel = 51

0,75

0,25

0,00

0,25 0,50 0,75 1,00

relative Buntheit *c**

Schwarzheit *n**

*n** = 0,00 | *n** = 0,25 | *n** = 0,50 | *n** = 1,0

Ausgabe: Farbmetrisches Fernseh-Licht-System TLS00

für Buntton *h* = lab*h = 103/360 = 0.286*
*lab*tch* und *lab*nch*

D65: Buntton Y
LCH*Ma: 93 93 103
olv*Ma: 1.0 1.0 0.0

Dreiecks-Helligkeit *t**

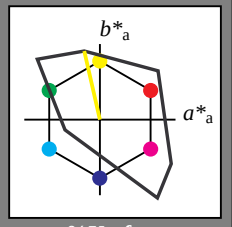

%Umfang

u*rel = 158

TLS00; adaptierte CIELAB-Daten

	L*=L*a	a*a	b*a	C*ab,a	h*ab,a
O_{Ma}	50.5	76.92	64.55	100.42	40
Y_{Ma}	92.66	−20.69	90.75	93.08	103
L_{Ma}	83.63	−82.75	79.9	115.04	136
C_{Ma}	86.88	−46.16	−13.55	48.12	196
V_{Ma}	30.39	76.06	−103.59	128.52	306
M_{Ma}	57.3	94.35	−58.41	110.97	328
N_{Ma}	0.01	0.0	0.0	0.0	0
W_{Ma}	95.41	0.0	0.0	0.0	0
R_{CIE}	39.92	58.74	27.99	65.07	25
J_{CIE}	81.26	−2.88	71.56	71.62	92
G_{CIE}	52.23	−42.41	13.6	44.55	162
B_{CIE}	30.57	1.41	−46.46	46.49	272

%Regularität

g*H,rel = 20

g*C,rel = 37

0,25 0,50 0,75 1,00

relative Buntheit *c**

Schwarzheit *n**

*n** = 0,00 | *n** = 0,25 | *n** = 0,50 | *n** = 1,0

OG580−7, 5 stufige Reihen für konstanten CIELAB Buntton 107/360 = 0.298 (links)

5 stufige Reihen für konstanten CIELAB Buntton 103/360 = 0.286 (rechts)

Eingabe: Farbmetrisches Fernseh-Licht-System TLS70

für Buntton *h* = lab*h = 142/360 = 0.395*
*lab*tch* und *lab*nch*

D65: Buntton L
LCH*Ma: 89 45 142
olv*Ma: 0.0 1.0 0.0

Dreiecks-Helligkeit *t**

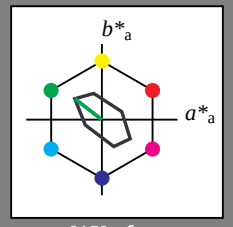

%Umfang

u*rel = 16

TLS70; adaptierte CIELAB-Daten

	L*=L*a	a*a	b*a	C*ab,a	h*ab,a
OMa	76.43	26.27	10.57	28.32	22
YMa	93.93	−10.76	34.63	36.27	107
LMa	89.32	−35.8	27.64	45.24	142
CMa	90.93	−21.95	−7.07	23.07	198
VMa	72.1	15.76	−35.63	38.97	294
MMa	78.5	37.52	−25.23	45.22	326
NMa	69.7	0.0	0.0	0.0	0
WMa	95.41	0.0	0.0	0.0	0
RCIE	39.92	58.74	27.99	65.07	25
JCIE	81.26	−2.88	71.56	71.62	92
GCIE	52.23	−42.41	13.6	44.55	162
BCIE	30.57	1.41	−46.46	46.49	272

1,00

%Regularität

g*H,rel = 34

g*C,rel = 51

0,75

0,25

0,00

n* = 1,0 n* = 0,50 n* = 0,25 n* = 0,00

0,25 0,50 0,75 1,00

Schwarzheit *n**

relative Buntheit *c**

Ausgabe: Farbmetrisches Fernseh-Licht-System TLS00

für Buntton *h* = lab*h = 136/360 = 0.378*
*lab*tch* und *lab*nch*

D65: Buntton L
LCH*Ma: 84 115 136
olv*Ma: 0.0 1.0 0.0

Dreiecks-Helligkeit *t**

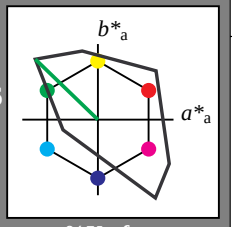

%Umfang

u*rel = 158

TLS00; adaptierte CIELAB-Daten

	L*=L*a	a*a	b*a	C*ab,a	h*ab,a
OMa	50.5	76.92	64.55	100.42	40
YMa	92.66	−20.69	90.75	93.08	103
LMa	83.63	−82.75	79.9	115.04	136
CMa	86.88	−46.16	−13.55	48.12	196
VMa	30.39	76.06	−103.59	128.52	306
MMa	57.3	94.35	−58.41	110.97	328
NMa	0.01	0.0	0.0	0.0	0
WMa	95.41	0.0	0.0	0.0	0
RCIE	39.92	58.74	27.99	65.07	25
JCIE	81.26	−2.88	71.56	71.62	92
GCIE	52.23	−42.41	13.6	44.55	162
BCIE	30.57	1.41	−46.46	46.49	272

%Regularität

g*H,rel = 20

g*C,rel = 37

n* = 1,0 n* = 0,50 n* = 0,25 n* = 0,00

0,25 0,50 0,75 1,00

Schwarzheit *n**

relative Buntheit *c**

OG580−7, 5 stufige Reihen für konstanten CIELAB Buntton 142/360 = 0.395 (links)

5 stufige Reihen für konstanten CIELAB Buntton 136/360 = 0.378 (rechts)

Eingabe: Farbmetrisches Fernseh-Licht-System TLS70

für Buntton *h* = lab*h = 198/360 = 0.55*
*lab*tch* und *lab*nch*

D65: Buntton C
LCH*Ma: 91 23 198
olv*Ma: 0.0 1.0 1.0

Dreiecks-Helligkeit *t**

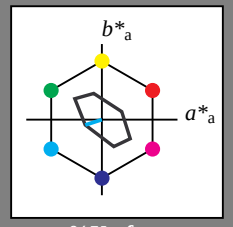

%Umfang

u*$_{rel}$ = 16

TLS70; adaptierte CIELAB-Daten

	L*=L*a	a*a	b*a	C*ab,a	h*ab,a
O_{Ma}	76.43	26.27	10.57	28.32	22
Y_{Ma}	93.93	−10.76	34.63	36.27	107
L_{Ma}	89.32	−35.8	27.64	45.24	142
C_{Ma}	90.93	−21.95	−7.07	23.07	198
V_{Ma}	72.1	15.76	−35.63	38.97	294
M_{Ma}	78.5	37.52	−25.23	45.22	326
N_{Ma}	69.7	0.0	0.0	0.0	0
W_{Ma}	95.41	0.0	0.0	0.0	0
R_{CIE}	39.92	58.74	27.99	65.07	25
J_{CIE}	81.26	−2.88	71.56	71.62	92
G_{CIE}	52.23	−42.41	13.6	44.55	162
B_{CIE}	30.57	1.41	−46.46	46.49	272

%Regularität

g*$_{H,rel}$ = 34

g*$_{C,rel}$ = 51

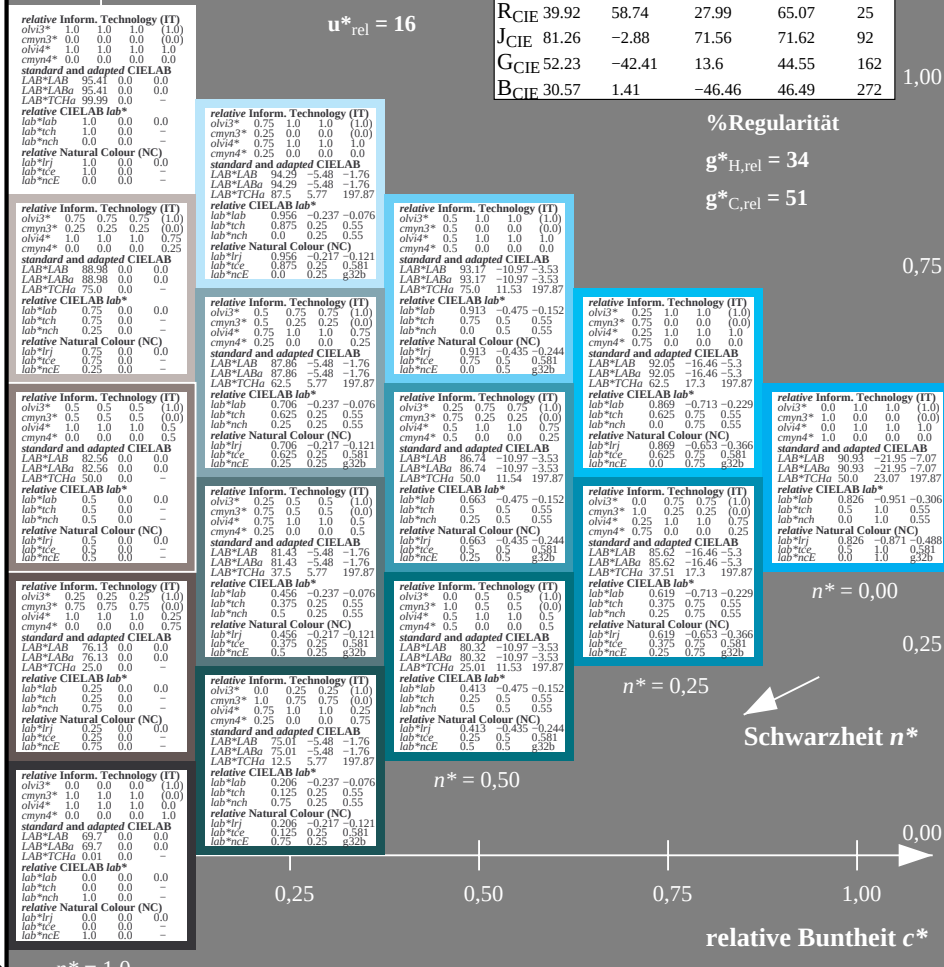

Ausgabe: Farbmetrisches Fernseh-Licht-System TLS00

für Buntton *h* = lab*h = 196/360 = 0.545*
*lab*tch* und *lab*nch*

D65: Buntton C
LCH*Ma: 87 48 196
olv*Ma: 0.0 1.0 1.0

Dreiecks-Helligkeit *t**

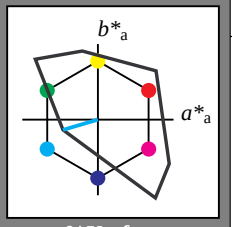

%Umfang

u*$_{rel}$ = 158

TLS00; adaptierte CIELAB-Daten

	L*=L*a	a*a	b*a	C*ab,a	h*ab,a
O_{Ma}	50.5	76.92	64.55	100.42	40
Y_{Ma}	92.66	−20.69	90.75	93.08	103
L_{Ma}	83.63	−82.75	79.9	115.04	136
C_{Ma}	86.88	−46.16	−13.55	48.12	196
V_{Ma}	30.39	76.06	−103.59	128.52	306
M_{Ma}	57.3	94.35	−58.41	110.97	328
N_{Ma}	0.01	0.0	0.0	0.0	0
W_{Ma}	95.41	0.0	0.0	0.0	0
R_{CIE}	39.92	58.74	27.99	65.07	25
J_{CIE}	81.26	−2.88	71.56	71.62	92
G_{CIE}	52.23	−42.41	13.6	44.55	162
B_{CIE}	30.57	1.41	−46.46	46.49	272

%Regularität

g*$_{H,rel}$ = 20

g*$_{C,rel}$ = 37

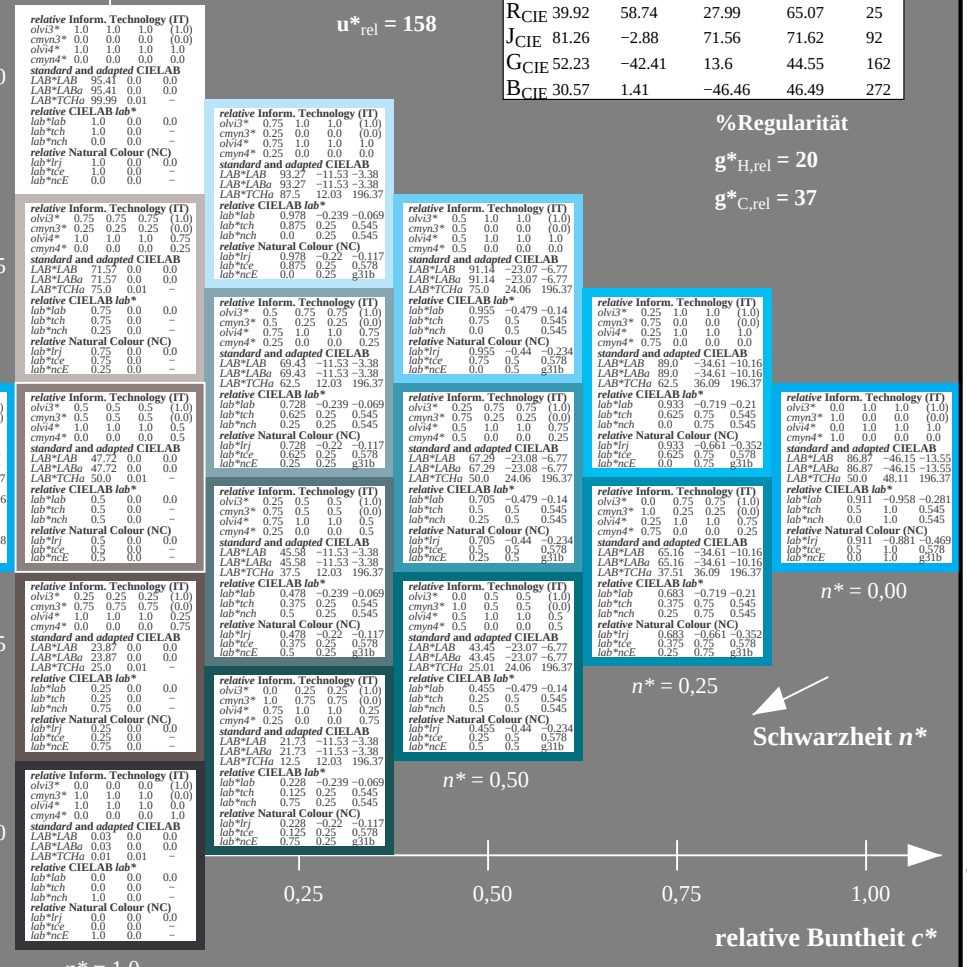

OG580−7, 5 stufige Reihen für konstanten CIELAB Buntton 198/360 = 0.55 (links)

5 stufige Reihen für konstanten CIELAB Buntton 196/360 = 0.545 (rechts)

Eingabe: Farbmetrisches Fernseh-Licht-System TLS70

für Buntton *h* = lab*h = 294/360 = 0.816*
*lab*tch* und *lab*nch*

D65: Buntton V
LCH*Ma: 72 39 294
olv*Ma: 0.0 0.0 1.0

Dreiecks-Helligkeit *t**

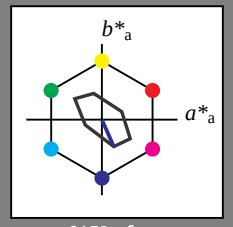

%Umfang
u*rel = 16

TLS70; adaptierte CIELAB-Daten

	L*=L*a	a*a	b*a	C*ab,a	h*ab,a
O_{Ma}	76.43	26.27	10.57	28.32	22
Y_{Ma}	93.93	−10.76	34.63	36.27	107
L_{Ma}	89.32	−35.8	27.64	45.24	142
C_{Ma}	90.93	−21.95	−7.07	23.07	198
V_{Ma}	72.1	15.76	−35.63	38.97	294
M_{Ma}	78.5	37.52	−25.23	45.22	326
N_{Ma}	69.7	0.0	0.0	0.0	0
W_{Ma}	95.41	0.0	0.0	0.0	0
R_{CIE}	39.92	58.74	27.99	65.07	25
J_{CIE}	81.26	−2.88	71.56	71.62	92
G_{CIE}	52.23	−42.41	13.6	44.55	162
B_{CIE}	30.57	1.41	−46.46	46.49	272

%Regularität
g*H,rel = 34
g*C,rel = 51

Ausgabe: Farbmetrisches Fernseh-Licht-System TLS00

für Buntton *h* = lab*h = 306/360 = 0.851*
*lab*tch* und *lab*nch*

D65: Buntton V
LCH*Ma: 30 129 306
olv*Ma: 0.0 0.0 1.0

Dreiecks-Helligkeit *t**

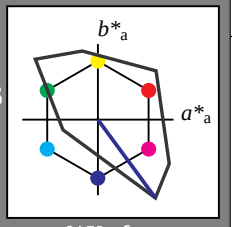

%Umfang
u*rel = 158

TLS00; adaptierte CIELAB-Daten

	L*=L*a	a*a	b*a	C*ab,a	h*ab,a
O_{Ma}	50.5	76.92	64.55	100.42	40
Y_{Ma}	92.66	−20.69	90.75	93.08	103
L_{Ma}	83.63	−82.75	79.9	115.04	136
C_{Ma}	86.88	−46.16	−13.55	48.12	196
V_{Ma}	30.39	76.06	−103.59	128.52	306
M_{Ma}	57.3	94.35	−58.41	110.97	328
N_{Ma}	0.01	0.0	0.0	0.0	0
W_{Ma}	95.41	0.0	0.0	0.0	0
R_{CIE}	39.92	58.74	27.99	65.07	25
J_{CIE}	81.26	−2.88	71.56	71.62	92
G_{CIE}	52.23	−42.41	13.6	44.55	162
B_{CIE}	30.57	1.41	−46.46	46.49	272

%Regularität
g*H,rel = 20
g*C,rel = 37

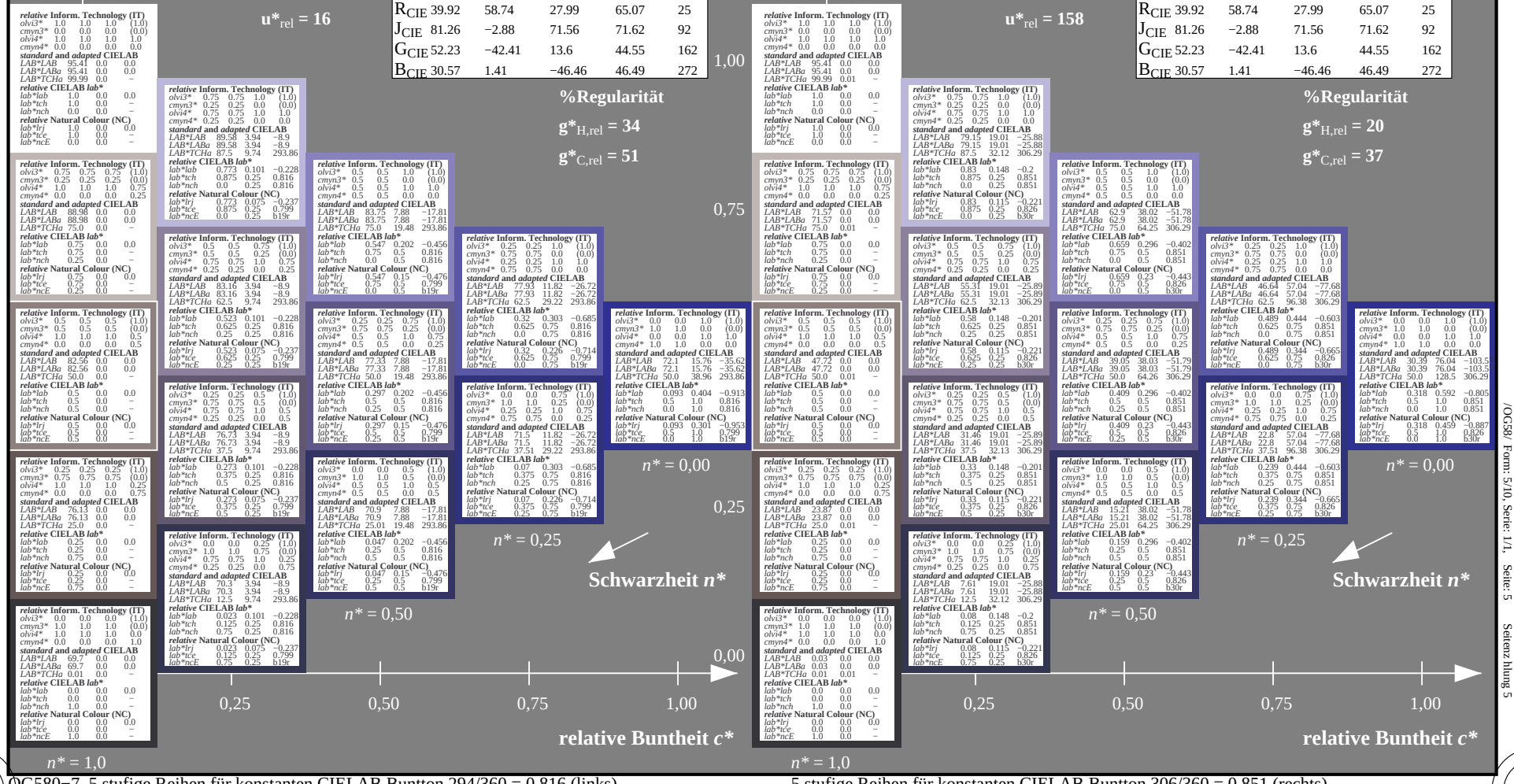

OG580−7, 5 stufige Reihen für konstanten CIELAB Buntton 294/360 = 0.816 (links)

5 stufige Reihen für konstanten CIELAB Buntton 306/360 = 0.851 (rechts)

Eingabe: Farbmetrisches Fernseh-Licht-System TLS70

für Buntton *h* = lab*h = 326/360 = 0.906*
*lab*tch* und *lab*nch*

D65: Buntton M
LCH*Ma: 79 45 326
olv*Ma: 1.0 0.0 1.0

Dreiecks-Helligkeit *t**

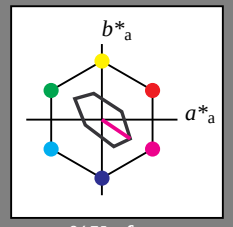

%Umfang

u*rel = 16

TLS70; adaptierte CIELAB-Daten

	L*=L*a	a*a	b*a	C*ab,a	h*ab,a
O_{Ma}	76.43	26.27	10.57	28.32	22
Y_{Ma}	93.93	−10.76	34.63	36.27	107
L_{Ma}	89.32	−35.8	27.64	45.24	142
C_{Ma}	90.93	−21.95	−7.07	23.07	198
V_{Ma}	72.1	15.76	−35.63	38.97	294
M_{Ma}	78.5	37.52	−25.23	45.22	326
N_{Ma}	69.7	0.0	0.0	0.0	0
W_{Ma}	95.41	0.0	0.0	0.0	0
R_{CIE}	39.92	58.74	27.99	65.07	25
J_{CIE}	81.26	−2.88	71.56	71.62	92
G_{CIE}	52.23	−42.41	13.6	44.55	162
B_{CIE}	30.57	1.41	−46.46	46.49	272

%Regularität

g*H,rel = 34

g*C,rel = 51

Ausgabe: Farbmetrisches Fernseh-Licht-System TLS00

für Buntton *h* = lab*h = 328/360 = 0.912*
*lab*tch* und *lab*nch*

D65: Buntton M
LCH*Ma: 57 111 328
olv*Ma: 1.0 0.0 1.0

Dreiecks-Helligkeit *t**

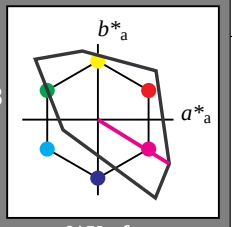

%Umfang

u*rel = 158

TLS00; adaptierte CIELAB-Daten

	L*=L*a	a*a	b*a	C*ab,a	h*ab,a
O_{Ma}	50.5	76.92	64.55	100.42	40
Y_{Ma}	92.66	−20.69	90.75	93.08	103
L_{Ma}	83.63	−82.75	79.9	115.04	136
C_{Ma}	86.88	−46.16	−13.55	48.12	196
V_{Ma}	30.39	76.06	−103.59	128.52	306
M_{Ma}	57.3	94.35	−58.41	110.97	328
N_{Ma}	0.01	0.0	0.0	0.0	0
W_{Ma}	95.41	0.0	0.0	0.0	0
R_{CIE}	39.92	58.74	27.99	65.07	25
J_{CIE}	81.26	−2.88	71.56	71.62	92
G_{CIE}	52.23	−42.41	13.6	44.55	162
B_{CIE}	30.57	1.41	−46.46	46.49	272

%Regularität

g*H,rel = 20

g*C,rel = 37

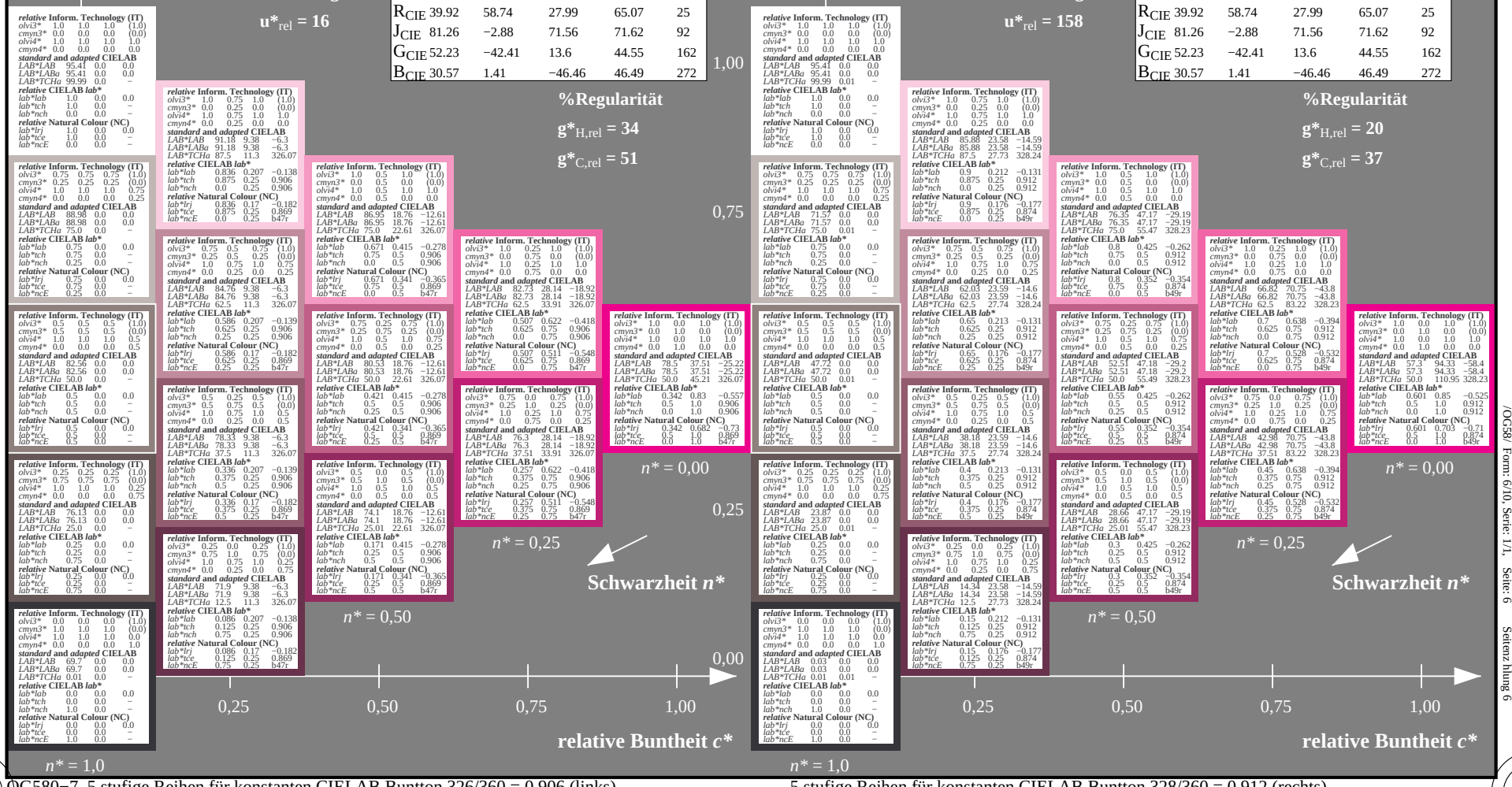

OG580−7, 5 stufige Reihen für konstanten CIELAB Buntton 326/360 = 0.906 (links)

5 stufige Reihen für konstanten CIELAB Buntton 328/360 = 0.912 (rechts)

Eingabe: Farbmetrisches Fernseh-Licht-System TLS70

für Buntton *h* = lab*h = 25/360 = 0.071*
*lab*tch* und *lab*nch*

D65: Buntton R
LCH*Ma: 77 27 25
olv*Ma: 1.0 0.05 0.0

Dreiecks-Helligkeit *t**

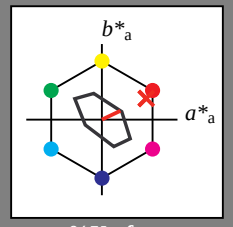

%Umfang
u*rel = 16

TLS70; adaptierte CIELAB-Daten

	L*=L*a	a*a	b*a	C*ab,a	h*ab,a
O_{Ma}	76.43	26.27	10.57	28.32	22
Y_{Ma}	93.93	−10.76	34.63	36.27	107
L_{Ma}	89.32	−35.8	27.64	45.24	142
C_{Ma}	90.93	−21.95	−7.07	23.07	198
V_{Ma}	72.1	15.76	−35.63	38.97	294
M_{Ma}	78.5	37.52	−25.23	45.22	326
N_{Ma}	69.7	0.0	0.0	0.0	0
W_{Ma}	95.41	0.0	0.0	0.0	0
R_{CIE}	39.92	58.74	27.99	65.07	25
J_{CIE}	81.26	−2.88	71.56	71.62	92
G_{CIE}	52.23	−42.41	13.6	44.55	162
B_{CIE}	30.57	1.41	−46.46	46.49	272

%Regularität
g*H,rel = 34
g*C,rel = 51

Ausgabe: Farbmetrisches Fernseh-Licht-System TLS00

für Buntton *h* = lab*h = 25/360 = 0.071*
*lab*tch* und *lab*nch*

D65: Buntton R
LCH*Ma: 52 89 25
olv*Ma: 1.0 0.0 0.21

Dreiecks-Helligkeit *t**

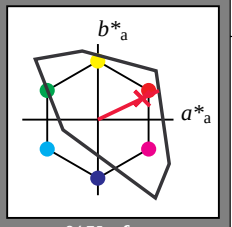

%Umfang
u*rel = 158

TLS00; adaptierte CIELAB-Daten

	L*=L*a	a*a	b*a	C*ab,a	h*ab,a
O_{Ma}	50.5	76.92	64.55	100.42	40
Y_{Ma}	92.66	−20.69	90.75	93.08	103
L_{Ma}	83.63	−82.75	79.9	115.04	136
C_{Ma}	86.88	−46.16	−13.55	48.12	196
V_{Ma}	30.39	76.06	−103.59	128.52	306
M_{Ma}	57.3	94.35	−58.41	110.97	328
N_{Ma}	0.01	0.0	0.0	0.0	0
W_{Ma}	95.41	0.0	0.0	0.0	0
R_{CIE}	39.92	58.74	27.99	65.07	25
J_{CIE}	81.26	−2.88	71.56	71.62	92
G_{CIE}	52.23	−42.41	13.6	44.55	162
B_{CIE}	30.57	1.41	−46.46	46.49	272

%Regularität
g*H,rel = 20
g*C,rel = 37

1,00
0,75
0,50
0,25
0,00
Schwarzheit *n**
*n** = 0,00
*n** = 0,25
*n** = 0,50
*n** = 1,0
0,25
0,50
0,75
1,00
relative Buntheit *c**

OG580−7, 5 stufige Reihen für konstanten CIELAB Buntton 25/360 = 0.071 (links)
5 stufige Reihen für konstanten CIELAB Buntton 25/360 = 0.071 (rechts)

BAM-Prüfvorlage OG58; Farbmetrik-Systeme ORS18 & ORS18 D65: 2 Koordinatendaten von 5stufigen Farbreihen für 10 Buntt öne

input: *cmy0* setcmykcolor*
output: *Startup (S) data dependend*

Eingabe: Farbmetrisches Fernseh-Licht-System TLS70

für Buntton *h* = lab*h = 92/360 = 0.256*
*lab*tch* und *lab*nch*

D65: Buntton J
LCH*Ma: 89 28 92
olv*Ma: 1.0 0.74 0.0

Dreiecks-Helligkeit *t**

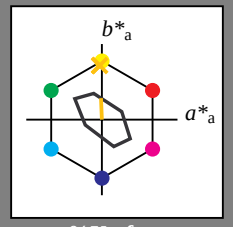

%Umfang
u*rel = 16

%Regularität
g*H,rel = 34
g*C,rel = 51

TLS70; adaptierte CIELAB-Daten

	L*=L*a	a*a	b*a	C*ab,a	h*ab,a
OMa	76.43	26.27	10.57	28.32	22
YMa	93.93	−10.76	34.63	36.27	107
LMa	89.32	−35.8	27.64	45.24	142
CMa	90.93	−21.95	−7.07	23.07	198
VMa	72.1	15.76	−35.63	38.97	294
MMa	78.5	37.52	−25.23	45.22	326
NMa	69.7	0.0	0.0	0.0	0
WMa	95.41	0.0	0.0	0.0	0
RCIE	39.92	58.74	27.99	65.07	25
JCIE	81.26	−2.88	71.56	71.62	92
GCIE	52.23	−42.41	13.6	44.55	162
BCIE	30.57	1.41	−46.46	46.49	272

1,00
0,75
0,25
0,00
n* = 0,00
n* = 0,25
n* = 0,50
n* = 1,0
Schwarzheit *n**
0,25 0,50 0,75 1,00
relative Buntheit *c**

Ausgabe: Farbmetrisches Fernseh-Licht-System TLS00

für Buntton *h* = lab*h = 92/360 = 0.256*
*lab*tch* und *lab*nch*

D65: Buntton J
LCH*Ma: 85 86 92
olv*Ma: 1.0 0.82 0.0

Dreiecks-Helligkeit *t**

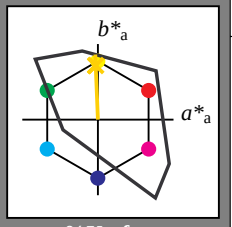

%Umfang
u*rel = 158

%Regularität
g*H,rel = 20
g*C,rel = 37

TLS00; adaptierte CIELAB-Daten

	L*=L*a	a*a	b*a	C*ab,a	h*ab,a
OMa	50.5	76.92	64.55	100.42	40
YMa	92.66	−20.69	90.75	93.08	103
LMa	83.63	−82.75	79.9	115.04	136
CMa	86.88	−46.16	−13.55	48.12	196
VMa	30.39	76.06	−103.59	128.52	306
MMa	57.3	94.35	−58.41	110.97	328
NMa	0.01	0.0	0.0	0.0	0
WMa	95.41	0.0	0.0	0.0	0
RCIE	39.92	58.74	27.99	65.07	25
JCIE	81.26	−2.88	71.56	71.62	92
GCIE	52.23	−42.41	13.6	44.55	162
BCIE	30.57	1.41	−46.46	46.49	272

n* = 0,00
n* = 0,25
n* = 0,50
n* = 1,0
Schwarzheit *n**
0,25 0,50 0,75 1,00
relative Buntheit *c**

OG580−7, 5 stufige Reihen für konstanten CIELAB Buntton 92/360 = 0.256 (links)
5 stufige Reihen für konstanten CIELAB Buntton 92/360 = 0.256 (rechts)

BAM-Prüfvorlage OG58; Farbmetrik-Systeme ORS18 & ORS18 input: *cmy0* setcmykcolor*
D65: 2 Koordinatendaten von 5stufigen Farbreihen für 10 Buntt output: *Startup (S) data dependend*

Eingabe: Farbmetrisches Fernseh-Licht-System TLS70

für Buntton *h* = lab*h = 162/360 = 0.451*
*lab*tch* und *lab*nch*

D65: Buntton G
LCH*Ma: 90 30 162
olv*Ma: 0.0 1.0 0.53

Dreiecks-Helligkeit *t**

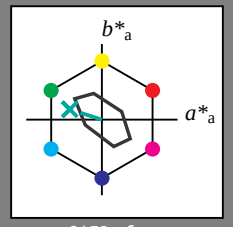

%Umfang

u*rel = 16

%Regularität

g*H,rel = 34

g*C,rel = 51

TLS70; adaptierte CIELAB-Daten

	L*=L*a	a*a	b*a	C*ab,a	h*ab,a
OMa	76.43	26.27	10.57	28.32	22
YMa	93.93	−10.76	34.63	36.27	107
LMa	89.32	−35.8	27.64	45.24	142
CMa	90.93	−21.95	−7.07	23.07	198
VMa	72.1	15.76	−35.63	38.97	294
MMa	78.5	37.52	−25.23	45.22	326
NMa	69.7	0.0	0.0	0.0	0
WMa	95.41	0.0	0.0	0.0	0
RCIE	39.92	58.74	27.99	65.07	25
JCIE	81.26	−2.88	71.56	71.62	92
GCIE	52.23	−42.41	13.6	44.55	162
BCIE	30.57	1.41	−46.46	46.49	272

1,00
0,75
0,25
0,00
n* = 0,00
n* = 0,25
n* = 0,50
n* = 1,0
Schwarzheit *n**
0,25 0,50 0,75 1,00
relative Buntheit *c**

Ausgabe: Farbmetrisches Fernseh-Licht-System TLS00

für Buntton *h* = lab*h = 162/360 = 0.451*
*lab*tch* und *lab*nch*

D65: Buntton G
LCH*Ma: 86 62 162
olv*Ma: 0.0 1.0 0.65

Dreiecks-Helligkeit *t**

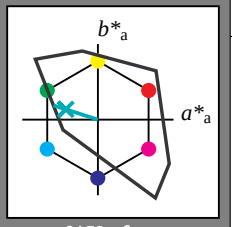

%Umfang

u*rel = 158

%Regularität

g*H,rel = 20

g*C,rel = 37

TLS00; adaptierte CIELAB-Daten

	L*=L*a	a*a	b*a	C*ab,a	h*ab,a
OMa	50.5	76.92	64.55	100.42	40
YMa	92.66	−20.69	90.75	93.08	103
LMa	83.63	−82.75	79.9	115.04	136
CMa	86.88	−46.16	−13.55	48.12	196
VMa	30.39	76.06	−103.59	128.52	306
MMa	57.3	94.35	−58.41	110.97	328
NMa	0.01	0.0	0.0	0.0	0
WMa	95.41	0.0	0.0	0.0	0
RCIE	39.92	58.74	27.99	65.07	25
JCIE	81.26	−2.88	71.56	71.62	92
GCIE	52.23	−42.41	13.6	44.55	162
BCIE	30.57	1.41	−46.46	46.49	272

1,00
0,75
0,25
0,00
n* = 0,00
n* = 0,25
n* = 0,50
n* = 1,0
Schwarzheit *n**
0,25 0,50 0,75 1,00
relative Buntheit *c**

OG580−7, 5 stufige Reihen für konstanten CIELAB Buntton 162/360 = 0.451 (links)
5 stufige Reihen für konstanten CIELAB Buntton 162/360 = 0.451 (rechts)

Eingabe: Farbmetrisches Fernseh-Licht-System TLS70

für Buntton *h* = lab*h = 272/360 = 0.755*
*lab*tch* und *lab*nch*

D65: Buntton B
LCH*Ma: 80 24 272
olv*Ma: 0.0 0.4 1.0

Dreiecks-Helligkeit *t**

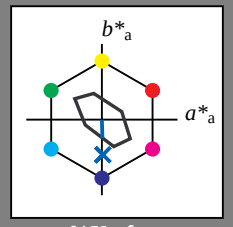

%Umfang
u*$_{rel}$ = 16

TLS70; adaptierte CIELAB-Daten

	$L^*=L^*_a$	a^*_a	b^*_a	$C^*_{ab,a}$	$h^*_{ab,a}$
O_{Ma}	76.43	26.27	10.57	28.32	22
Y_{Ma}	93.93	−10.76	34.63	36.27	107
L_{Ma}	89.32	−35.8	27.64	45.24	142
C_{Ma}	90.93	−21.95	−7.07	23.07	198
V_{Ma}	72.1	15.76	−35.63	38.97	294
M_{Ma}	78.5	37.52	−25.23	45.22	326
N_{Ma}	69.7	0.0	0.0	0.0	0
W_{Ma}	95.41	0.0	0.0	0.0	0
R_{CIE}	39.92	58.74	27.99	65.07	25
J_{CIE}	81.26	−2.88	71.56	71.62	92
G_{CIE}	52.23	−42.41	13.6	44.55	162
B_{CIE}	30.57	1.41	−46.46	46.49	272

%Regularität
g*$_{H,rel}$ = 34
g*$_{C,rel}$ = 51

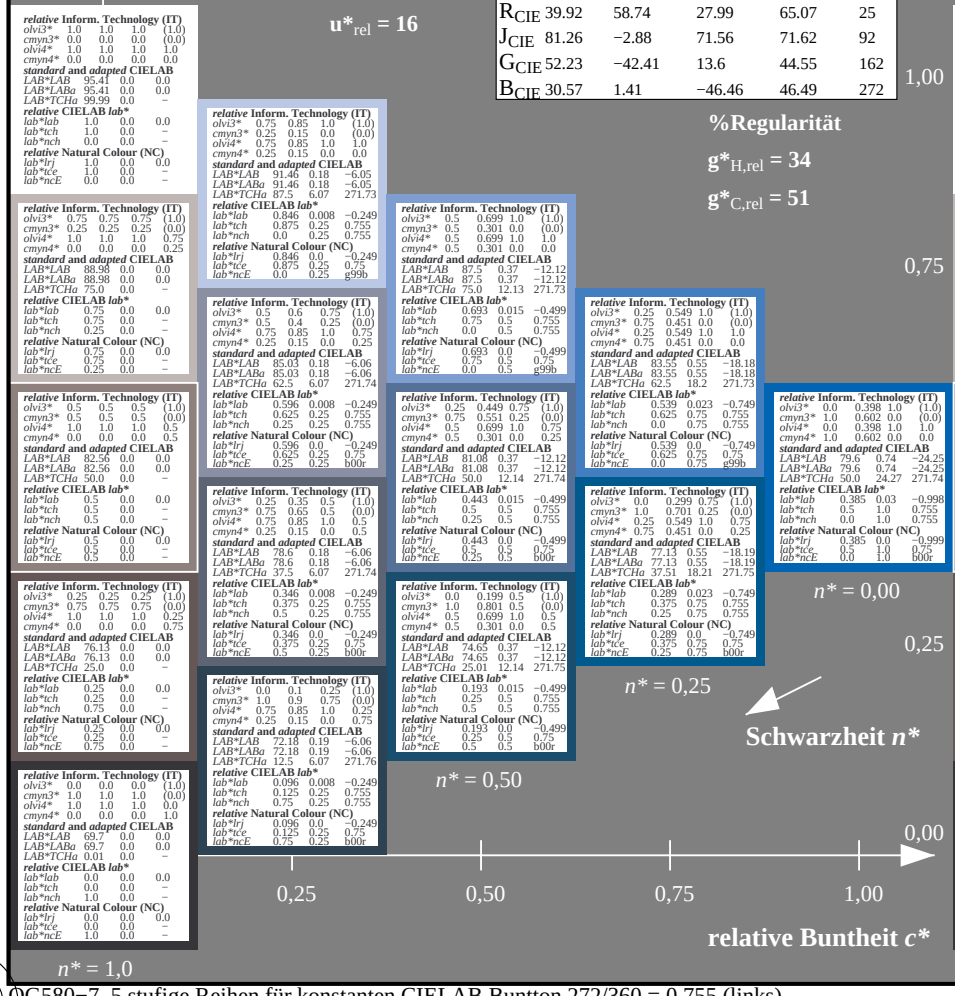

Ausgabe: Farbmetrisches Fernseh-Licht-System TLS00

für Buntton *h* = lab*h = 272/360 = 0.755*
*lab*tch* und *lab*nch*

D65: Buntton B
LCH*Ma: 65 49 272
olv*Ma: 0.0 0.61 1.0

Dreiecks-Helligkeit *t**

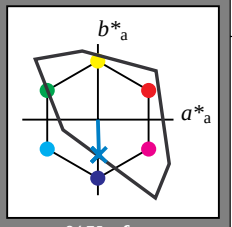

%Umfang
u*$_{rel}$ = 158

TLS00; adaptierte CIELAB-Daten

	$L^*=L^*_a$	a^*_a	b^*_a	$C^*_{ab,a}$	$h^*_{ab,a}$
O_{Ma}	50.5	76.92	64.55	100.42	40
Y_{Ma}	92.66	−20.69	90.75	93.08	103
L_{Ma}	83.63	−82.75	79.9	115.04	136
C_{Ma}	86.88	−46.16	−13.55	48.12	196
V_{Ma}	30.39	76.06	−103.59	128.52	306
M_{Ma}	57.3	94.35	−58.41	110.97	328
N_{Ma}	0.01	0.0	0.0	0.0	0
W_{Ma}	95.41	0.0	0.0	0.0	0
R_{CIE}	39.92	58.74	27.99	65.07	25
J_{CIE}	81.26	−2.88	71.56	71.62	92
G_{CIE}	52.23	−42.41	13.6	44.55	162
B_{CIE}	30.57	1.41	−46.46	46.49	272

%Regularität
g*$_{H,rel}$ = 20
g*$_{C,rel}$ = 37

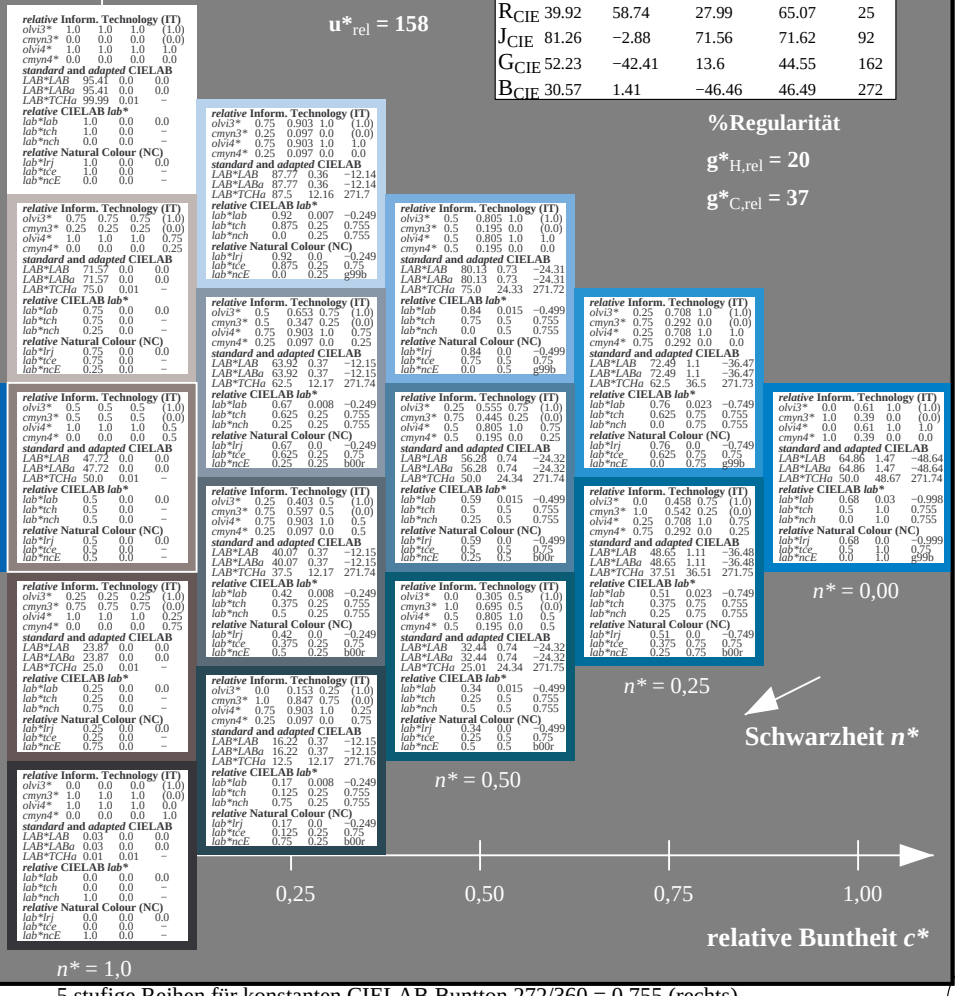

OG580−7, 5 stufige Reihen für konstanten CIELAB Buntton 272/360 = 0.755 (links)

5 stufige Reihen für konstanten CIELAB Buntton 272/360 = 0.755 (rechts)